

Kalmanfilter und Nichtparametrische Filter

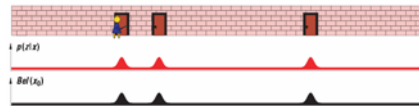
Daniel Göhring

06.11.2006

Bayesfilter

- Zustand zur Zeit t ist Zufallsvariable x_t
- Wahrscheinlichkeitsfunktion Bel (Belief) über x_t : $\text{Bel}(x_t)$ repräsentiert die Unsicherheit

Quelle: Thrun,
Burgard, Fox

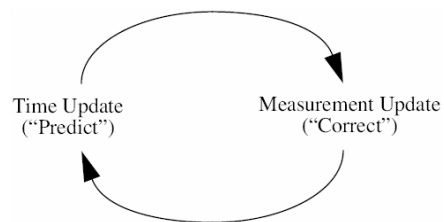


- $\text{Bel}(x_t) = p(z_1, z_2, \dots, z_t)$, aber es wird Markov angenommen, x_{t-1} reicht für die Folgezustandsberechnung
- $\text{Bel}(x_t) \leftarrow \int p(x_t|x_{t-1})\text{Bel}(x_{t-1})dx_{t-1}$ (predict)
- $\text{Bel}(x_t) \leftarrow \alpha_t p(z_t|x_t) \text{Bel}(x_t)$ (correct)
 - α_t ist Normierungskonstante z_t sind Sensordaten

Kalmanfilter

- Parametrischer Filter
- Verwendet Gaußfunktion zur Repräsentation der
 - Objektposition sowie
 - Sensormodell $p(z|x')$
 - Zustandsübergangsfunktion $p(x'|u,x)$

Arbeitsweise Kalman



1. Schritt:
Vorausberechnung der neuen Ballposition aus der alten Position (Modellierung)
2. Korrektur des berechneten Wertes durch die Messung

Das Kalmanmodell

1. Vorausberechnung (Prediction):

$$x_k = Ax_{k-1} + Bu_{k-1} + w_{k-1}$$

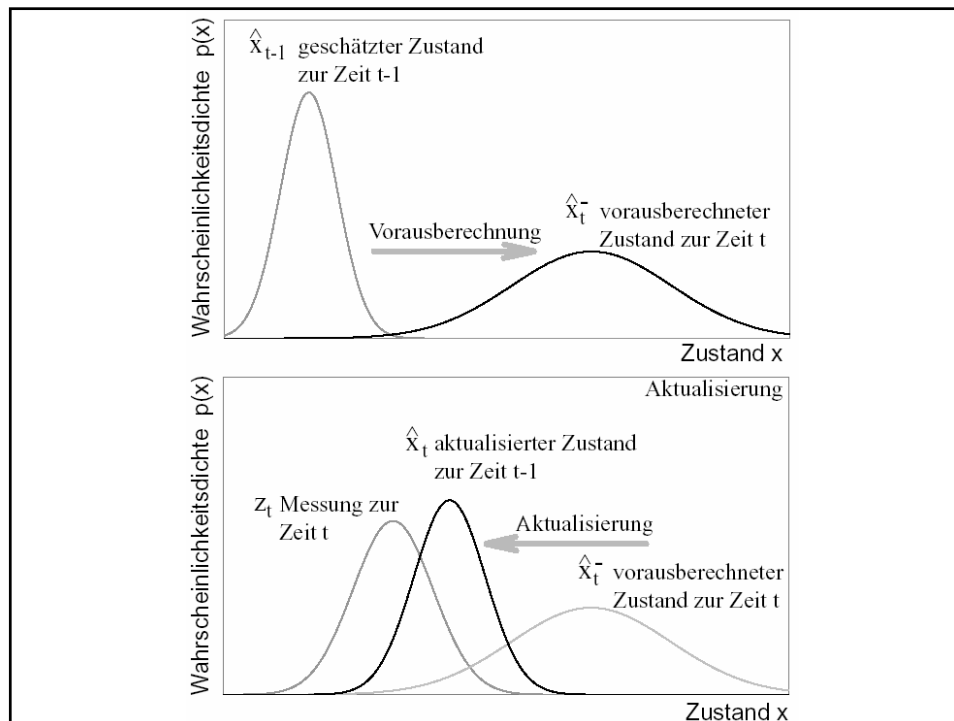
mit A gelangt man vom Zustand in k-1 zum Zustand in k
B repräsentiert die Kontrollinputmatrix

2. Messung (Measurement):

$$z_k = Hx_k + v_k$$

H beschreibt den Zusammenhang zwischen realem und gemessenem Zustand

w_k , v_k repräsentieren das Prozess- bzw. Messungsrauschen (weiß, normalverteilt)

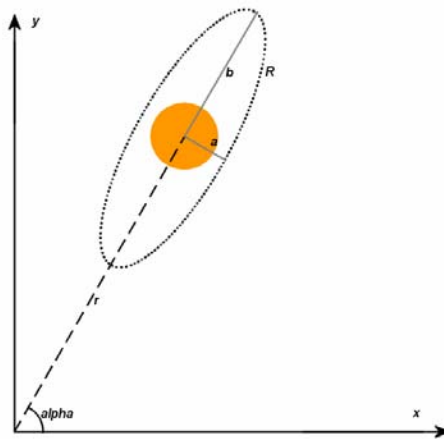


Kalmanmatrizen

- **Q** repräsentiert die Prozessfehlerkovarianzen, je größer die Werte von Q, je stabiler arbeitet der Filter
- **R** repräsentiert die Messfehlerkovarianzen, je größer die Werte von R, je reaktiver arbeitet der Filter
- P_k repräsentiert die Diskrepanz zwischen Messung und Berechnung in k , jeweils a priori und a posteriori, wird für jeden Schritt neu berechnet

Q, R müssen dem Modell mitgeteilt werden, beiben const., x_k wird Anfangs auf z_k initialisiert

Beispiel für Messfehlerkovarianzmatrizen **R**



- Entfernungsmessung für den Roboter schwieriger als Abschätzung des Winkels
- Korrelation der einzelnen Messgrößen beachten

Auswirkung von Q bzw. R auf die Filterwirkung

R klein
Q groß



R groß
Q klein



Berechnungsschleife

Prediction:

$$\mathbf{x}_k^- = \mathbf{A}\mathbf{x}_{k-1} + \mathbf{B}\mathbf{u}_{k-1}$$

$$\mathbf{P}_k^- = \mathbf{A}\mathbf{P}_{k-1}\mathbf{A}^T + \mathbf{Q} \quad //\text{a-priori Fehlerkovarianzmatr.}$$

Update:

$$\mathbf{K}_k = \mathbf{P}_k^- \mathbf{H}^T (\mathbf{H}\mathbf{P}_k^- \mathbf{H}^T + \mathbf{R})^{-1}$$

$$\mathbf{x}_k = \mathbf{x}_k^- + \mathbf{K}_k (\mathbf{z}_k - \mathbf{H}\mathbf{x}_k^-)$$

$$\mathbf{P}_k = (\mathbf{I} - \mathbf{K}_k \mathbf{H}) \mathbf{P}_k^- \quad //\text{a-post. Fehlerkovarianzmatr.}$$

K wird gemeinhin als das Kalmangain bez.

Probleme

- Messfehlerkov.-mat. R ist leicht aus Eingangsdaten zu ermitteln
- für verschiedene Ballentfernungen
- Prozessfehlerkov.-matrix hingegen schwierig
- Deckenkamera notwendig als Kontrolle von außen
- keine Repräsentation von Negativinformation möglich

Probleme (2)

- Messfehler nicht konstant
 - Entfernungsfehler steigt quadratisch mit wachsender Ballentfernung
 - Winkelfehler steigt bei Kopfbewegung
- also Messfehlerkovarianzmatrix R variabel gestalten

Wdh.: Update: $K_k = P_k^- H^T (H P_k^- H^T + R)^{-1}$

Implementationsbeispiel

- Eindimensionaler Kalmanfilter für x :

Bsp.: Für x :

$$S_x^- = S_x + V_x$$

$$P_x^- = P_x + Q_x$$

$$K_x = P_x^- * (P_x^- + R_x)^{-1}$$

$$S_x = S_x^- + K_x * (Z_x - S_x^-)$$

$$P_x = (I - K_x) * P_x^-$$

Stärken von KF

- Optimale Objektzustandsabschätzung für lineare Prozesse
- Schnelle Berechenbarkeit, auch für höherdimensionale Probleme (1000 Dimensionen)

Schwächen von KF

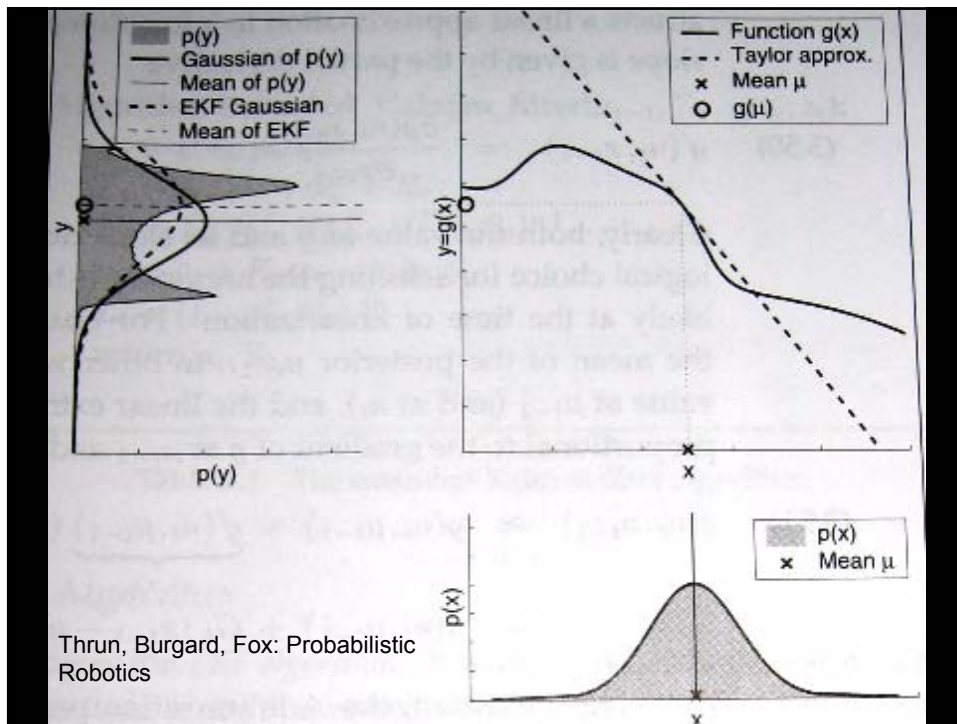
- Beschränkt Normalverteilungen
 - Nur einzelne Objekte können verfolgt werden
 - Gausssform der Objekte
- Beschränkt auf lineare Prozesse

Daher: Erweiterungen von Kalmanfiltern

Extended Kalmanfilter

- sind eine Möglichkeit, Kalmanfilter zu erweitern
- Idee: Linearisierung von gegebenen Verteilungen
- Annahme bei EKF: Zustandsübergangsfunktion und Messungswahrscheinlichkeit sind nichtlineare Funktionen g und h , also kein linearer Zusammenhang zw. x und z :

$$\begin{aligned}x_t &= g(u_t, x_{t-1}) + \varepsilon_t \\z_t &= h(x_t) + \delta_t\end{aligned}$$



Linearisierung

- Die Linearisierung des Zusammenhangs bei gegebener Gleichung

$$z_t = h(x_t) + \delta_t$$

ist gegeben durch die Tangente an h am Mittelwert μ_x der Gaußverteilung von x

- Entspricht Taylorapproximation 1. Grades von h

Schwächen

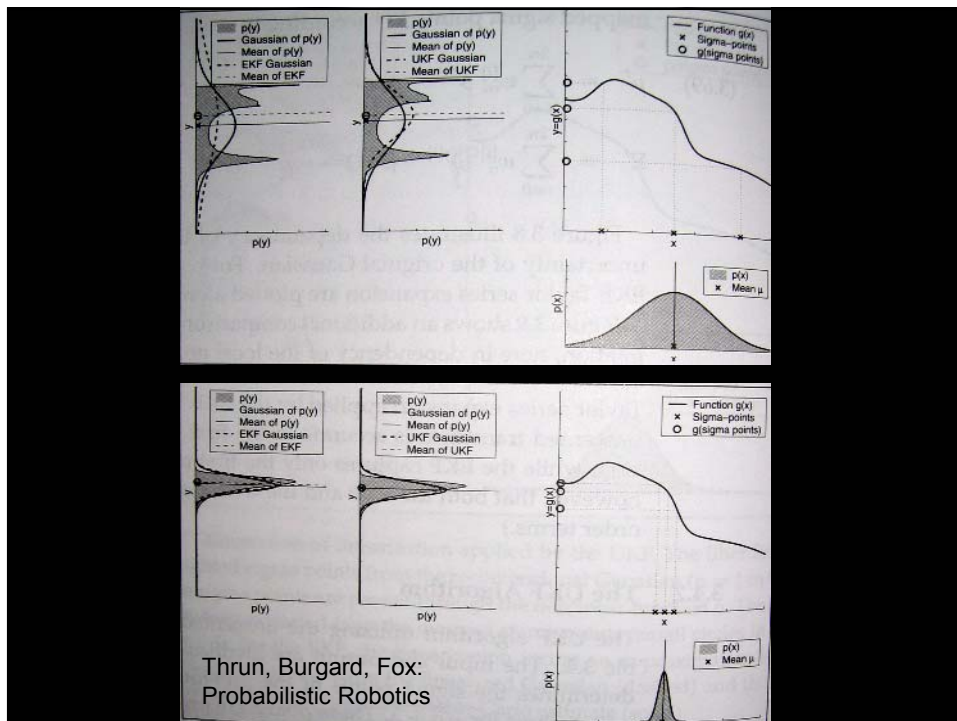
- Linearisierung hängt nur vom Wert von h in μ_x ab.
- Güte der Linearisierung hängt von der Nichtlinearität von g bzw. h ab

Erweiterungen

- Verwendung von Summen von Gaußfunktionen, also mehreren EKFs
- Jeder EKF wird dabei gewichtet aufsummiert - MHEKF

Uncented Kalmanfilter

- Statt der Verwendung der ersten zwei Terme der Taylorentwicklung an der Stelle μ_x werden die Standardabweichungen der Verteilung auf eine andere Art und Weise verrechnet
 - Höhere Genauigkeit der Abschätzung zur Wirklichen Verteilung



Nichtparametrische Filter

- Nichtparametrische Filter verwenden Repräsentanten zur Darstellung der PDF
- Keine feste funktionale Form der Wahrscheinlichkeitsfunktion
- Repräsentanten können durch endlich viele Regionen (Histogramm) oder durch endlich viele Samples dargestellt werden

Histogrammfilter

- Zustand wird in endlich viele, gemeinhin kongruente Bereiche unterteilt
- Jeder Bereich erhält nur noch eine Zahl, die die Aufenthaltswahrscheinlichkeit repräsentiert
- Bsp.: Occupancy-Grid
 - Jede Bereich im Raster ist entweder besetzt oder frei – Repräsentation durch Boolesche Variable

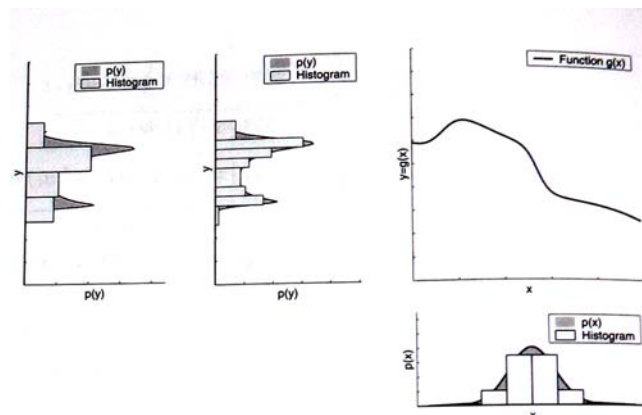
Diskreter Bayesfilter

$$\underline{p}_{k,t} = \sum_i p(X_t = x_k | u_t, X_{t-1} = x_i) p_{i,t-1}$$

$$p_{k,t} = \eta p(z_t | X_t = x_k) \underline{p}_{k,t}$$

Histogrammfilter

- Unterschiedliche Auflösungen möglich
- Beispiel:



Partikelfilter

- Repräsentation der PDF durch Samples, oft auch Partikel genannt
- Partikel werden anfangs gleichmäßig in den Zustandsraum eingestreut
- Likelihood gibt an, wie gut die einzelnen Samples mit den Sensordaten (Evidence) übereinstimmen
- Danach Resampling

Vorteil

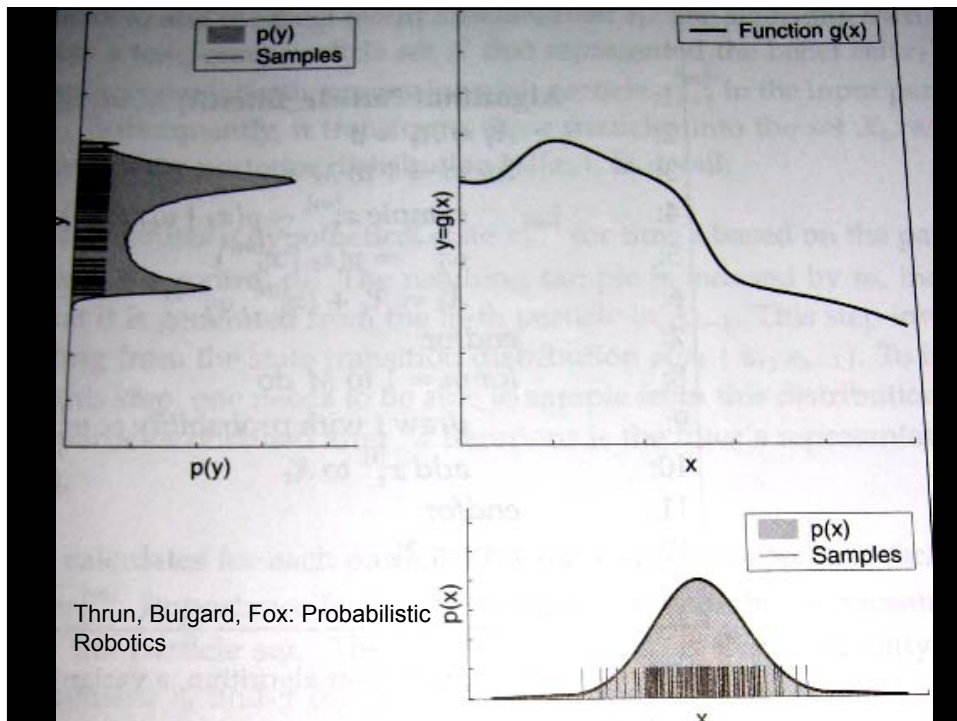
- Kann mehr Verteilungen repräsentieren als z.B. Gaußverteilungen
- Nichtlineare Transformationen der Zufallsvariablen können repräsentiert werden
- Samples der Zustandsabschätzung heißen Partikel

$$X_t := x_t^{[1]}, x_t^{[2]}, \dots, x_t^{[M]}$$

- Jeder Partikel $x_t^{[m]}$ ist eine Instanzierung eines Zustandes zur Zeit t , M ist die Partikelzahl

Partikelfilteralgorithmus

- 1: Alg. Partikel Filter (X_{t-1}, u_t, z_t):
- 2: $\underline{X}_t = X_t = \{ \}$
- 3: for $m = 1$ to M do
- 4: sample $x_t^{[m]} \sim p(x_t | u_t, x_{t-1})$
- 5: $w_t^{[m]} \sim p(z_t | x_t^{[m]})$
- 6: $\underline{X}_t = \underline{X}_t + \langle x_t^{[m]}, w_t^{[m]} \rangle$
- 7: endfor
- 8: for $m = 1$ to M
- 9: draw i with probability $\sim w_t^{[i]}$
- 10: add $x_t^{[i]}$ to X_t
- 11: endfor
- 12: return X_t



Berechnungsmöglichkeit des Gewichts bei Sensordaten

$w_t^{[m]} = 1$, falls Resampling stattfand

$w_t^{[m]} = p(z_t | x_t^{[m]}) * w_{t-1}^{[m]}$, falls Resampling stattfand

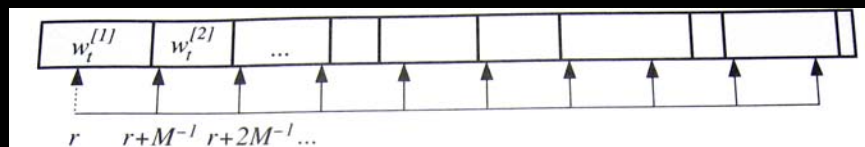
Resampling

- Manchmal verändert sich der Objektzustand nicht – Roboter bewegt sich nicht, insbesondere, wenn keine Sensordaten vorliegen
- Bei Resampling würden Partikel gelöscht werden
- Motivation für Verfahren, die Varianzreduktionen unterbinden

Resampling

- Zu viel Resampling kann Diversität reduzieren
- Zu wenig Resampling kann Partikel in Regionen geringen Interesses verschwenden
- Lösung: Resampling an der Varianz der Gewichte Orientieren – alle Gewichte gleich – nicht resampeln
- Andere Verfahren wie Low Variance Resampling

Low Variance Resampling

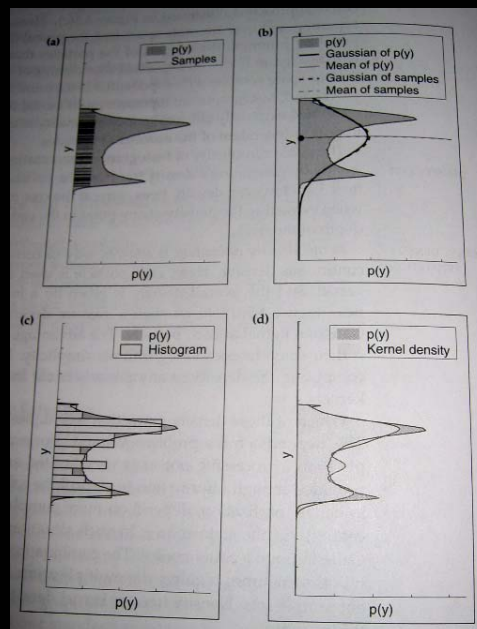


Thrun, Burgard, Fox: Probabilistic
Robotics

Wahrscheinlichkeitsdichteabschätzung

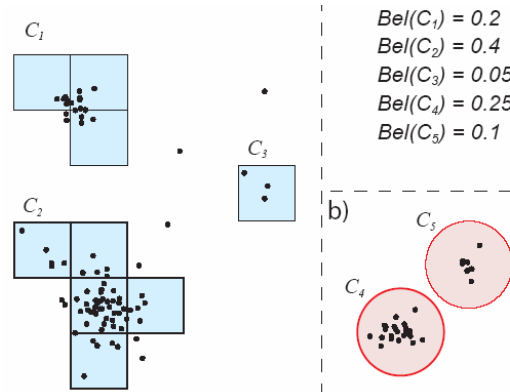
- Schwierigkeit, aus endlich vielen Repräsentanten, kontinuierliche Verteilung zu ermitteln
- Verschiedene Möglichkeiten dafür:
 - Gaußverteilung berechnen – nicht sinnvoll bei multimodalen Verteilungen
 - k-means clustering sinnvoller bei multim. Vert. (Menge von Gaußfunktionen)
 - Diskretes Histogramm über alle Partikel legen
 - Auch Dichtebäume möglich

Möglichkeiten der Dichteabschätzung



Thrun, Burgard,
Fox: Probabilistic
Robotics

Histogramm / Clustering



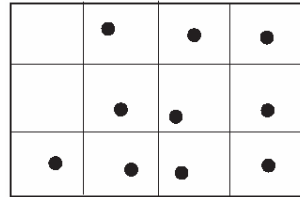
Maß für die Konvergenz

- Entropie H gibt Auskunft über die Konvergenz der Partikelverteilung
- Vorgehen, Rasterung des Spielfeldes in n Unterbereiche
- $H = \sum -p_i * \log p_i$

Wobei p_i die Anzahl der Partikel im Bereich i dividiert durch Gesamtpartikelzahl ist (relative Häufigkeit)

Entropie Beispiel

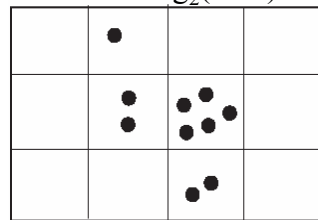
- Entropie maximal bei Gleichverteilung



- minimal, wenn alle Partikel in einem Raster liegen

- $0 * \log 0 =_{\text{def}} 0$

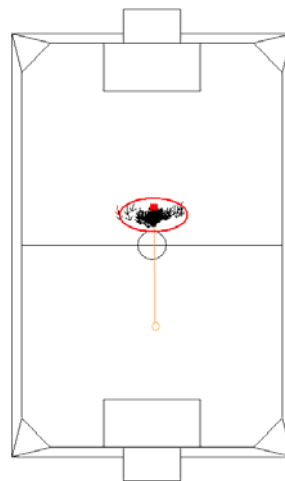
$$= 10 * -1/10 * \log_2(1/10) \approx 3.32$$



$$= -1/10 * \log_2(1/10) - 4/10 * \log_2(2/10) - 5/10 * \log_2(5/10) \approx 1.76$$

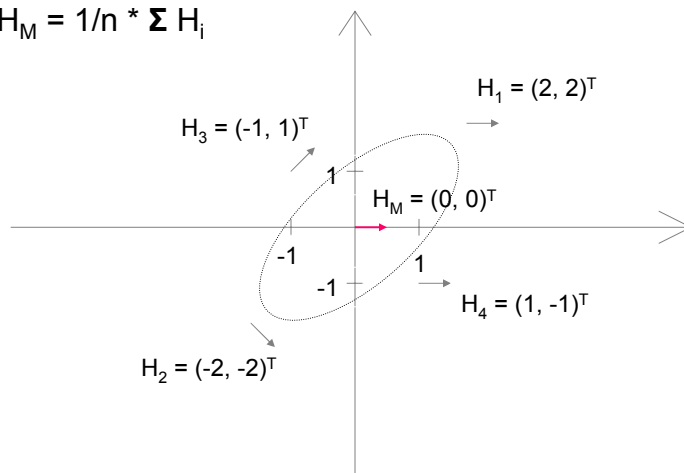
Aktive Vision - Berechnung der Hauptachsen einer statistischen Verteilung

- Annahme – Normalverteilung
- Man möchte Betrag und Richtung der Hauptachsen wissen
- Ziel: Maximale Verringerung der Unsicherheit



Mittelwert

$$H_M = 1/n * \sum H_i$$



Berechnung der Eigenwerte für x und y

Ausgangsmatrix:

$$\bullet S = \begin{pmatrix} 2.5 & 1.5 \\ 1.5 & 2.5 \end{pmatrix}$$

Gesucht: alle Eigenwerte λ ,
wobei gilt: $\det(S - I \lambda) = 0$

Berechnung der Eigenwerte

- $\det \begin{pmatrix} 2.5 - \lambda & 1.5 \\ 1.5 & 2.5 - \lambda \end{pmatrix} = 0,$
- Also $(2.5 - \lambda)^2 - 1.5^2 = 0$
 $0 = \lambda^2 - 5\lambda + 4$
- Eigenwerte: $\lambda_1 = 2.5 + 1.5 = 4$
 $\lambda_2 = 2.5 - 1.5 = 1$

Berechnung der Eigenvektoren

- Einsetzen der Eigenwerte λ in die Kovarianzmatrix S , größte Eigenwerte zuerst.

$$(S - I\lambda) * \vec{V} = \vec{0}$$

Berechnung der Eigenvektoren (2)

Berechnung des 1. V, $\lambda = 4$:

$$-1.5 * V_{1x} + 1.5 * V_{1y} = 0$$

$$1.5 * V_{1x} - 1.5 * V_{1y} = 0$$

$$V_{1x} = V_{1y}$$

0.707

Eigenvektor normiert (Betrag = 1): $V_1 = (\quad)$

0.707

Normierung der Eigenvektoren

$$V_2 = \begin{pmatrix} -0.707 \\ 0.707 \end{pmatrix}$$

EVs sind Zeilen der Transf.-matrix

Transformationsmatrix $K = (V_1, V_2)^T$

$$K = \begin{pmatrix} 0.707 & 0.707 \\ -0.707 & 0.707 \end{pmatrix}$$

Transformation (optional)

$$S' = K * S * K^T$$

(K ist orthonormal, $K^T = K^{-1}$)

$$S' = \begin{pmatrix} 4*0.7 & 4*0.7 \\ -1*0.7 & 1*0.7 \end{pmatrix} * \begin{pmatrix} 0.7 & -0.7 \\ 0.7 & 0.7 \end{pmatrix}$$

Transformation (2)

- Nach der Transformation sind die Kovarianzen null

$$S' = \begin{pmatrix} 4 & 0 \\ 0 & 1 \end{pmatrix}$$

Zu Beachten

- Rotationsmatrix hat die Form

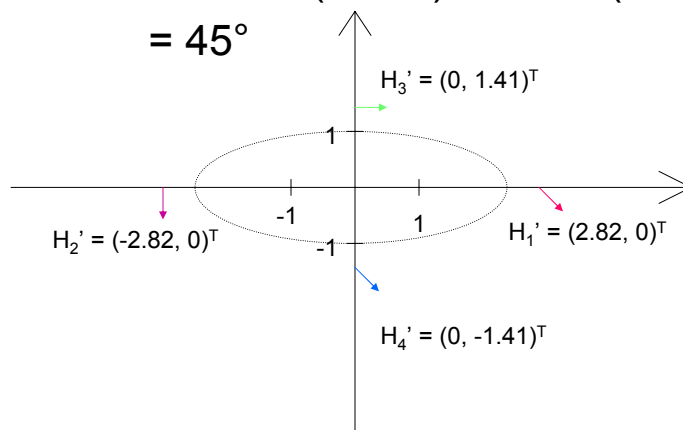
$$K = \begin{pmatrix} \cos(\alpha) & -\sin(\alpha) \\ \sin(\alpha) & \cos(\alpha) \end{pmatrix}$$

Vorzeichen von K können zeilenweise vertauscht werden (Spiegelung der EVs)

- Ellipsenrotation von $200^\circ = 20^\circ$, schnellere Erreichbarkeiten (Kosten) beachten

Nach der Transformation

also: $\alpha = \arccos(0.707) = \arcsin(0.707)$
 $= 45^\circ$



Also

- 45 Grad nach rechts schauen

